

整体口袋-夸克流方法的费曼法则与 强子类时结构函数

汪醒民

(杭州大学物理系)

摘 要

本文给出了整体口袋-夸克流方法的一些费曼法则,并利用这些法则得到了一系列光子-强子过程的零级跃迁矩阵元。接着具体计算了正负电子对深度湮没过程中的核子与 π 介子结构函数。求得的类时结构函数具有 Bjorken 标度性,满足 Collan-Gross 关系,当 $x = q^2/2p \cdot q < 1$ 时为零,而当 $x \geq 1$ 时, $\bar{F}_1 \equiv \bar{W}_1 \geq 0$, $\bar{F}_2 = \frac{2}{M} \bar{W}_2 \leq 0$ 。这些性质都是按定义所要求的。此外还得到强子类时结构函数的计数法则: $\bar{F}_1(x \sim 1) \propto (x-1)^{3N-2}$, 正好与我们在计算类空结构函数时得到的计数法则相对称。

一、整体口袋-夸克流方法的费曼法则

在文献 [1, 2] 中,我们引入强子弱电相互作用有效拉氏函数为:

$$\mathcal{L}_{\text{eff}}(y) = J_\mu^a(y) A^{\mu a}(y) \quad (1.1)$$

对于重子(反重子), $J_\mu^a(y)$ 为:

$$J_\mu^a(y) = \sum_{1 \rightarrow 2, 3} \frac{1}{\lambda^3} \int d^3R e^{i\mathbf{q} \cdot \mathbf{r}_1} \left[\begin{array}{l} \bar{\psi}(z_1) \gamma_\mu \hat{\lambda}^a \psi(z_1) \\ \psi^+(z_2) \psi(z_2) \\ \psi^+(z_3) \psi(z_3) \end{array} \right] \quad (1.2a)$$

对于介子则为:

$$J_\mu^a(y) = \sum_{1 \rightarrow 2} \frac{1}{\lambda^3} \int d^3R e^{i\mathbf{q} \cdot \mathbf{r}_1} \left[\begin{array}{l} \bar{\psi}(z_1) \gamma_\mu \hat{\lambda}^a \psi(z_1) \\ \psi^+(z_2) \psi(z_2) \end{array} \right] \quad (1.2b)$$

这里用到: $z_i = r_i + y$, $r_i = (0, \mathbf{r}_i)$, $A_\mu(x) = A_\mu(y) e^{i\mathbf{q} \cdot \mathbf{r}}$ 。

我们还作了自由度分离假设,可表示为:

$$\frac{1}{\lambda^{3/2}} \left[\begin{array}{l} \psi(z_1) \\ \psi(z_2) \\ \psi(z_3) \end{array} \right] |B, p\rangle = \frac{1}{\sqrt{(2\pi)^3}} e^{-i\mathbf{p} \cdot \mathbf{y}} q_{p\alpha_1}(\mathbf{r}_1) q_{p\alpha_2}(\mathbf{r}_2) q_{p\alpha_3}(\mathbf{r}_3) |s\rangle \quad (\text{重子波函数}) \quad (1.3a)$$

$$\frac{1}{\lambda^{3/2}} \begin{bmatrix} \psi^+(z_1) \\ \psi^+(z_2) \\ \psi^+(z_3) \end{bmatrix} | \bar{B}, p \rangle = \frac{1}{\sqrt{(2\pi)^3}} e^{-i\bar{p}\cdot y} \chi_{p\alpha_1}^+(\mathbf{r}_1) \chi_{p\alpha_2}^+(\mathbf{r}_2) \chi_{p\alpha_3}^+(\mathbf{r}_3) |s\rangle \quad (\text{反重子波函数}) \quad (1.3b)$$

$$\frac{1}{\lambda^{3/2}} \begin{bmatrix} \psi(z_1) \\ \psi^+(z_2) \end{bmatrix} | \mu, p \rangle = \frac{1}{\sqrt{(2\pi)^3}} e^{-i\bar{p}\cdot y} q_{p\alpha_1} \chi_{p\alpha_2}^+(\mathbf{r}_2) |s\rangle \quad (\text{介子波函数}) \quad (1.3c)$$

(1.3) 各式中, $q_{p\alpha}$, $\chi_{p\alpha}$ 分别代表口袋整体动量为 p 时的夸克波函数, α 为其内量子态(包括颜色与味道), $|s\rangle$ 为由夸克自旋耦合成的强子自旋态. 当 $p=(M, \mathbf{0})$ 时, 它们就是 MIT 袋模型中的波函数^[3,4](自旋部分已抽出):

$$q_{M\alpha}(\mathbf{r}) \equiv q_{\alpha}(\mathbf{r}) = \frac{N}{\sqrt{4\pi}} \begin{bmatrix} i j_0 \left(\frac{\sigma}{R} r \right) \\ -(\boldsymbol{\sigma} \cdot \hat{r}) j_1 \left(\frac{\sigma}{R} r \right) \end{bmatrix} \quad (1.4a)$$

$$\chi_{M\alpha}(\mathbf{r}) \equiv \chi_{\alpha}(\mathbf{r}) = \frac{N}{\sqrt{4\pi}} \begin{bmatrix} -i(\boldsymbol{\sigma} \cdot \hat{r}) j_1 \left(\frac{\sigma}{R} r \right) \\ j_0 \left(\frac{\sigma}{R} r \right) \end{bmatrix} \quad (1.4b)$$

这里我们只考虑 $m_u = m_d = 0$ 的轻夸克, 故:

$$\sigma = 2.04, \quad N^2 = \sigma^3 / [2R^3(\sigma - 1)\sin^2\sigma] \quad (1.4c)$$

由上述假设可直接得到下表中的费曼法则.

费曼图-费曼法则对应表

| 费 曼 图 | 费 曼 法 则 |
|-------|---|
| | $\frac{1}{(2\pi)^3} \langle s' \prod_{i=1}^3 \bar{q}_{p' \alpha'_i}(\mathbf{r}'_i) \cdots \prod_{j=1}^3 q_{p \alpha_j}(\mathbf{r}_j) s \rangle$ 重子出线 重子进线 (1.5a) |
| | $\frac{-1}{(2\pi)^3} \langle s' \bar{q}_{p' \alpha'_1}(\mathbf{r}'_1) \bar{\chi}_{p \alpha_2}(\mathbf{r}_2) \cdots q_{p \alpha_1}(\mathbf{r}_1) \chi_{p' \alpha'_2}(\mathbf{r}'_2) s \rangle$ 介子出线 介子进线 (1.5b) |
| | $\frac{-1}{(2\pi)^3} \langle s' \prod_{i=1}^3 \bar{\chi}_{p \alpha_i}(\mathbf{r}_i) \cdots \prod_{j=1}^3 \chi_{p' \alpha'_j}(\mathbf{r}'_j) s \rangle$ 反重子进线 反重子出线 (1.5c) |
| | $(2\pi)^4 \delta^4(p + q - p') \sum_{i=1}^3 \int d^3 R e^{i q \cdot r_i} (\hat{\lambda}^a r_{\mu})_{(1)} (\gamma_0)_{(2)} (\gamma_0)_{(3)} \quad (1.5d)$ 重子(反重子)电弱作用顶点(对于光子, $\hat{\lambda}^a = \hat{Q}$) |
| | $(2\pi)^4 \delta^4(p + q - p') \sum_{i=1}^3 \int d^3 R e^{i q \cdot r_i} (\hat{\lambda}^a r_{\mu})_{(1)} (\gamma_0)_{(2)} \quad (1.5e)$ |

对于深度非弹过程, 我们应用渐近自由假设: 当 $Q^2 \rightarrow \infty$ 时, 可认为各夸克是相互

独立的,因此对夸克出态求和可用自由夸克态求和来作近似,这意味着有如下的近似费曼法则:

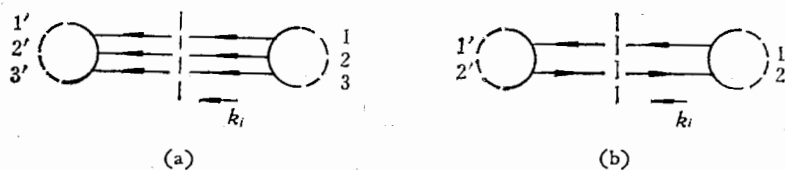


图 1

三夸克终态求和(图 1(a)):

$$\frac{1}{(2\pi)^9} \frac{1}{\lambda^3} \prod_{i=1}^3 \int \frac{d^3 k_i}{2k_i} \kappa_i e^{i k_i \cdot (r'_i - r_i)} \quad (1.5f)$$

夸克-反夸克终态求和(图 1(b)):

$$\frac{-1}{(2\pi)^6} \frac{1}{\lambda^3} \prod_{i=1}^2 \int \frac{d^3 k_i}{2k_i} \kappa_i e^{i k_i \cdot (r'_i - r_i)} \quad (1.5g)$$

(注意,关于 y 的指数部分已由 $d^4 y$ 积分后归入顶点的 $\delta^4(p + q - p')$ 中,这儿 $p' = \sum_i k_i$)

现在我们来考虑两个光子-强子过程的跃迁矩阵元,作为上述费曼法则的应用。

例 1: eN 弹性散射(图 2):

$$\begin{aligned} & \sum_{1 \rightarrow 23} (2\pi) \delta^4(p + q - p') \int d^9 R e^{i q \cdot r} \langle s' | \bar{q}_{p' a'_1}(\mathbf{r}_1) Q_1 \gamma_\mu q_{p a_1}(\mathbf{r}_1) \\ & \times q_{p' a'_2}^+(\mathbf{r}_2) q_{p a_2}(\mathbf{r}_2) q_{p' a'_3}^+(\mathbf{r}_3) q_{p a_3}(\mathbf{r}_3) | s \rangle \end{aligned} \quad (1.6)$$

这正是文献[5]所得的相应结果。

例 2: eN 深度非弹性散射的强子部分(图 3):

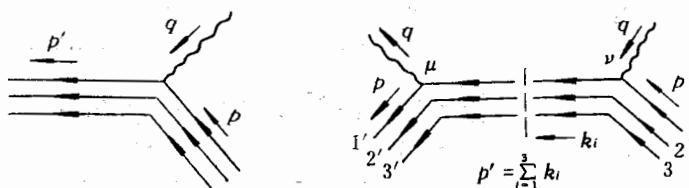


图 2

图 3

这里初、终态归一化为:

$$\langle p, s | p', s' \rangle = \sqrt{(2\pi)^3 2E} \delta_{pp'} \delta_{ss'} \quad (1.7)$$

我们有结构函数表达式:

$$\begin{aligned} W_{\mu\nu}^{eN} &= \frac{1}{8\pi} \sum_s \int d^4 y e^{i q \cdot y} \langle M, s | [J_\mu^+(y), J_\nu(0)] | M, s \rangle \\ &= \frac{1}{8\pi} \times \frac{1}{(2\pi)^4 \delta^4(p + q - p')} \times \sum_s (\text{图 3}) \\ &= \frac{1}{8\pi} \sum_s \int (2\pi)^4 \delta^4(p + q - \sum k_i) \frac{2M}{\lambda^3 (2\pi)^9} \frac{d^3 k_1 d^3 k_2 d^3 k_3}{2k_1 2k_2 2k_3} \int d^9 R d^9 R' \end{aligned}$$

$$\begin{aligned} & \times \sum_i Q_i^2 \langle s | \{ \bar{q}_{\alpha_i}(\mathbf{r}_i) \gamma_{\mu} \mathcal{K}_i \gamma_{\nu} q_{\alpha_i}(\mathbf{r}_i) e^{i(\mathbf{k}_i - \mathbf{q})(\mathbf{r}_i - \mathbf{r}_1)} \\ & \times \prod_{j=2}^3 \bar{q}_{\alpha_j}(\mathbf{r}_j) \gamma_0 \mathcal{K}_j \gamma_0 q_{\alpha_j}(\mathbf{r}_j) e^{i\mathbf{k}_j \cdot (\mathbf{r}_j - \mathbf{r}_j)} \} | s \rangle \end{aligned} \quad (1.8)$$

此式正是我们在文献[1]中所得到的表达式。

对 π 介子, 也易写出相应的结果。

最后, 作为上述法则的一个间接应用, 我们由 (1.8) 式直接推导 Collan-Gross 关系:

$$F_2(x) \equiv \frac{\nu}{M} W_2(x) = 2x F_1(x) \equiv 2x W_1(x) \quad (1.9)$$

其中 $x \equiv -q^2/2p \cdot q = -q^2/2\nu M$, $W_{1,2}$ 由下式定义:

$$W_{\mu\nu}^{ch} = - \left(g_{\mu\nu} - \frac{q_{\mu}q_{\nu}}{q^2} \right) W_1 + \frac{1}{M^2} \left(p_{\mu} - \frac{p \cdot q}{q^2} q_{\mu} \right) \left(p_{\nu} - \frac{p \cdot q}{q^2} q_{\nu} \right) W_2 \quad (1.10)$$

我们对 (1.8) 式中的因子 $\gamma_{\mu} \mathcal{K}_i \gamma_{\nu}$ 作分解:

$$\gamma_{\mu} \mathcal{K}_i \gamma_{\nu} = -g_{\mu\nu} \mathcal{K} + k_{\mu} \gamma_{\nu} + k_{\nu} \gamma_{\mu} - i\epsilon_{\mu\rho\nu\sigma} \gamma^{\sigma} \gamma_5 k^{\rho} \quad (1.11)$$

与 (1.10) 比较, 我们得 $-g_{\mu\nu}$ 的系数就是 W_1 ^[6], 因此 W_1 可简写成

$$W_1 = \{ \dots \mathcal{K} \dots \} \quad (1.12)$$

在 (1.10) 式右边加上 $g_{\mu\nu} W_1$ 并对 $g^{\mu\nu}$ 缩标, 有:

$$\begin{aligned} g^{\mu\nu} (W_{\mu\nu} + g_{\mu\nu} W_1) &= W_1 + \frac{1}{M^2} \left(M^2 - \frac{(p \cdot q)^2}{q^2} \right) W_2 \\ &= \underset{B_j \text{ limit}}{F_1} + \frac{1}{2x} F_2 \end{aligned} \quad (1.13a)$$

另一方面, (1.8) 式右边也加上 $\{ \dots g_{\mu\nu} \mathcal{K} \dots \}$ 并再乘 $g^{\mu\nu}$ 缩标, 有

$$\{ \dots g^{\mu\nu} [k_{\mu} \gamma_{\nu} + k_{\nu} \gamma_{\mu} - i\epsilon_{\mu\rho\nu\sigma} \gamma^{\sigma} \gamma_5 k^{\rho}] \dots \} = \{ \dots 2\mathcal{K} \dots \} = 2F_1 \quad (1.13b)$$

由 (1.13a) = (1.13b), 即得 (1.9) 式。

这里所给的证明似乎要比 Jaffe^[6]所作的相应证明更为简洁。此法在第 3 节还要用到。

二、正负电子对深度湮没过程中的核子类时结构函数

深度湮没过程 $e^+e^- \rightarrow hX$ 的强子结构函数(以后简称类时结构函数, TSF, 因 $q^2 > 0$) 定义为:

$$\bar{W}_{\mu\nu}(q^2, \nu) = \frac{1}{8\pi} \sum_{p, n} \int d^4y e^{iq \cdot y} \langle 0 | j_{\mu}^+(y) | p, n \rangle \langle p, n | j_{\nu}(0) | 0 \rangle \quad (2.1a)$$

$$= - \left(g_{\mu\nu} - \frac{q_{\mu}q_{\nu}}{q^2} \right) \bar{W}_1 + \frac{1}{M^2} \left(p_{\mu} - \frac{p \cdot q}{q^2} q_{\mu} \right) \left(p_{\nu} - \frac{p \cdot q}{q^2} q_{\nu} \right) \bar{W}_2 \quad (2.1b)$$

在深度湮没中:

$$(q - p)^2 \geq M^2 \quad \therefore \quad q^2 - 2q \cdot p \geq 0 \quad x \equiv q^2/2p \cdot q \geq 1 \quad (2.2)$$

易证(参见 [7]、[8]), 在朴素部分子模型中有:

$$\bar{F}_1 \equiv \bar{W}_1(q^2, \nu) = \frac{1}{2} \sum_i Q_i^2 D_i^+(x) \quad (2.3a)$$

$$\bar{F}_2 \equiv \bar{W}_2(q^2, \nu) = -x \sum_i Q_i^2 D_i^+(x) \quad (2.3b)$$

其中 $D_i^+(x)$ 为动量为 xp 的夸克 i 放出动量为 p 的强子的碎裂函数。因此 TSF \bar{F}_1 和 \bar{F}_2 仅是 x 的函数 (Bjorken 标度性), 且满足 Collan-Gross 关系:

$$\bar{F}_2(x) = -2x\bar{F}_1(x) \quad (2.4)$$

由 (2.2) 和 (2.3) 还可知:

$$1 \leq x < \infty, \quad \bar{F}_1(x) \geq 0, \quad \bar{F}_2(x) \leq 0 \quad (2.5)$$

它们与深度非弹散射中的强子结构函数 (简称 SSF——类空结构函数, 因 $q^2 < 0$) 有不同的定义域和值域。对于 SSF, (2.4)、(2.5) 成为:

$$0 \leq x \leq 1, \quad F_1 \equiv W_1 \geq 0, \quad F_2 \equiv \frac{\nu}{M} W_2 \geq 0, \quad F_2 = 2xF_1 \quad (2.6)$$

现在我们试以第 1 节所述费曼法则来求出核子的 TSF。相应的费曼图如图 4 所示。这当然是忽略各种强作用修正的零级近似。但在域值附近 ($x \geq 1$), 可以认为图 4 的贡献是主要的。这也可由我们对核子 SSF 的分析^[2]中看出, 在 $x \leq 1$ 时, 袋模型计算出的项占优势。

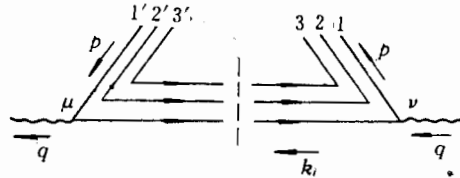


图 4

我们取核子动量 $p = (M, \mathbf{0})$ 的坐标系, 并按 (1.7) 取协变基矢, 则由费曼法则可得:

$$\begin{aligned} \bar{W}_{\mu\nu}^N &= \frac{1}{8\pi} \times \frac{1}{(2\pi)^4 \delta^4(q - p - \sum_i k_i)} \times \sum_s \text{图 4} \\ &= \frac{1}{8\pi} \int d^3R d^3R' \frac{d^3k_1 d^3k_2 d^3k_3}{2k_1 2k_2 2k_3} \frac{2M}{\lambda^3 (2\pi)^9} (2\pi)^4 \delta^4(q - p - \sum_i k_i) \\ &\quad \times \sum_{s,i} Q_i^2 \langle s | \left\{ \bar{q}_{\alpha_1}(\mathbf{r}_1) \gamma_\nu \not{k}_i \gamma_\mu q_{\alpha_1}(\mathbf{r}'_1) e^{i(k_i - q)(\mathbf{r}'_1 - \mathbf{r}_1)} \right. \\ &\quad \left. \times \prod_{j=2}^3 \bar{q}_{\alpha_j}(\mathbf{r}_j) \gamma_0 \not{k}_j \gamma_0 q_{\alpha_j}(\mathbf{r}'_j) e^{i\mathbf{k}_j(\mathbf{r}'_j - \mathbf{r}_j)} \right\} | s \rangle \end{aligned} \quad (2.7)$$

此式与 (1.8) 式极为相似, 计算方法也类同。首先, (2.7) 式中的 δ 函数保证了 $\bar{W}_{\mu\nu}$ 只有当 $x \geq 1$ 时才不为零。这是因为在核子静止系中:

$$\mathbf{q} = \sum_i \mathbf{k}_i, \quad q^0 = p^0 + \sum_i |\mathbf{k}_i| = M + \sum_i k_i \quad (2.8a)$$

由定义 $x = q^2/2p \cdot q$ 及 Bjorken 条件 $q^0 \gg M$, 有:

$$2q^0 M x = q_0^2 - |\mathbf{q}|^2, \quad \therefore q_0 \approx |\mathbf{q}| + xM \quad (2.8b)$$

$$\begin{aligned} \therefore q_0 - xM = |\mathbf{q}| &= \left| \sum_i \mathbf{k}_i \right| \leq \sum_i |\mathbf{k}_i| = q_0 - M \\ \therefore x &\geq 1 \end{aligned} \quad (2.8c)$$

与文献 [1] 的方法相似, 我们可证明 (2.7) 式中的 $\gamma_\nu \not{k}_\nu$ 按 (1.11) 式展开后, $-g_{\mu\nu}$ 的系数就是 \bar{w}_1^N :

$$\bar{w}_1^N = \left\{ \cdots k_1 \cdots \right\} \quad (2.8d)$$

然后, 仿照文献 [1] 的方法, 先计算 (2.8d) 中对 $d^3R d^3R'$ 的积分, 再利用 $\delta^4\left(q - p - \sum_i k_i\right)$ 对动量积分, 最后采用渐近自由假设:

$$|\mathbf{q}| - \frac{c_1}{R_0} \leq k_1 \leq |\mathbf{q}| + \frac{c_1}{R_0} \quad (2.9)$$

得到 \bar{w}_1^N 的显示表达式:

$$\begin{aligned} W_1^N(\beta_0) &= \frac{MN^6 R_0^{10}}{2\pi} \left(2c_1 \frac{R_0^3}{\lambda^3} \right) \int_0^{\beta_0} \alpha \beta \int_{\frac{1}{2}(\beta_0 - \beta)}^{\frac{1}{2}(\beta_0 + \beta)} \beta_2 (\beta_0 - \beta_2) d\beta_2 \sum_j Q_j^2 (T_{00}^1(\boldsymbol{\epsilon}, \beta) \\ &\quad + T_{11}^2(\boldsymbol{\epsilon}, \beta)) (T_{00}(\boldsymbol{\epsilon}, \beta) - T_{11}(\boldsymbol{\epsilon}, \beta))^2 (T_{00}(\boldsymbol{\epsilon}, \beta_0 - \beta_2) - T_{11}(\boldsymbol{\epsilon}, \beta_0 - \beta_2))^2 \end{aligned} \quad (2.10)$$

其中已定义

$$\begin{aligned} \beta_0 &= (q_0 - M - |\mathbf{q}|)R_0 = (x - 1)MR_0, \quad \beta = |\mathbf{k}_1 - \mathbf{q}|R_0 \\ \beta_2 &= k_2 R_0, \quad T_{il}(\boldsymbol{\epsilon}, \beta) = \int_0^1 x^2 dx j_i(\boldsymbol{\epsilon}x) j_l(\beta x) \quad (i, l = 0, 1) \end{aligned} \quad (2.11)$$

由 (2.10) 易知:

a) \bar{w}_1^N 的标度性: 除系数 $c_1 \frac{R_0^3}{\lambda^3}$ 可能 Q^2 有关外, 它是 $\beta_0 = (x - 1)MR$ 的函数. 若设

$$c(Q^2) = 2c_1 R_0^3 / \lambda^3 \quad (2.12)$$

则:
$$\bar{w}_1^N(x, Q^2) = c(Q^2) \bar{f}_N(x) \sum_j (Q_j)^2 \quad (2.13)$$

b) \bar{w}_1^N 是正定的.

c) \bar{w}_1^N 有渐近表示式:

$$\bar{w}_1^N(x \sim 1) \propto (x - 1)^4 \quad (2.14)$$

这是因为当 $x \sim 1$ 时, $\beta_0 \sim 0$, 于是 (2.10) 又可用中值近似, 考虑到 $T_{00}(\boldsymbol{\epsilon}, 0)$ 有限而 $T_{11}(\boldsymbol{\epsilon}, 0)$ 为零, 有:

$$\begin{aligned} \bar{w}_1^N(x \sim 1) &\simeq \frac{MN^6 R_0^{10}}{2\pi} c\beta_0 \left[\frac{1}{2} \left(\beta_0 + \frac{1}{2} \beta_0 \right) - \frac{1}{2} \left(\beta_0 - \frac{1}{2} \beta_0 \right) \right] \\ &\quad \times \frac{1}{2} \beta_0 \left(\beta_0 - \frac{1}{2} \beta_0 \right) T_{00}^0(\boldsymbol{\epsilon}, 0) \sum_j Q_j^2 \propto \beta_0^4 \propto (x - 1)^4 \end{aligned}$$

计算 π 介子 TSF 的方法与上同. 费曼图如图 5 所示. 我们取 π 介子静止系并采用协变基矢 (1.7), 有:

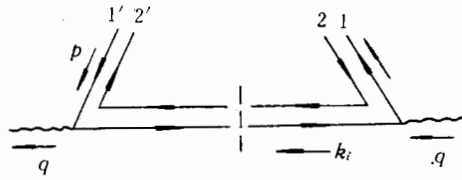


图 5

$$\begin{aligned} \bar{W}_{\mu\nu}^{\pi} &= \frac{1}{4\pi} \times \frac{1}{(2\pi)^4 \delta^4(q - p - \sum_i k_i)} \times \text{图 5} = \frac{1}{4\pi} \int d^6 R d^6 R' \frac{d^3 k_1 d^3 k_2}{2k_1 2k_2 \lambda^3 (2\pi)^6} \\ &\times (2\pi)^4 \delta^4(q - p - \sum_i k_i) \{ Q_q^2 e^{i(k_1 - q) \cdot (r'_1 - r_1)} \bar{q}_{\alpha_1}(r_1) \gamma_\nu \not{k}_1 \gamma_\mu q_{\alpha_1}(r'_1) \bar{\chi}_{\alpha_2}(r'_2) \\ &\times \gamma_0 \not{k}_2 \gamma_0 \chi_{\alpha_2}(r_2) e^{i k_2 \cdot (r'_2 - r_2)} + Q_q^2 e^{i(k_2 - q) \cdot (r'_2 - r_2)} \bar{\chi}_{\alpha_2}(r'_2) \gamma_\mu \not{k}_2 \gamma_\nu \chi_{\alpha_2} \\ &\times (r_2) \bar{q}_{\alpha_1}(r_1) \gamma_0 \not{k}_1 \gamma_0 q_{\alpha_1}(r'_1) e^{i k_1 \cdot (r'_1 - r_1)} \} \end{aligned} \quad (2.15)$$

具体计算过程与文献 [2] 所给的相似, 结果:

$$\begin{aligned} \bar{W}_1^{\pi} &= m N^4 R_0^7 \left(2c_1 \frac{R_0^3}{\lambda^3} \right) \beta_0 (T_{00}^2(\epsilon, \beta_0) + T_{11}^2(\epsilon, \beta_0)) (T_{00}(\epsilon, \beta_0) - T_{11}(\epsilon, \beta_0))^2 \sum_i Q_i^2 \\ &= \left(2c_1 \frac{R_0^3}{\lambda^3} \right) \bar{f}_\pi(x) \sum_i Q_i^2 = c(Q^2) \bar{f}_\pi(x) \sum_i Q_i^2 \end{aligned} \quad (2.16)$$

\bar{W}_1^{π} 具有显示的 Bjorken 标度性, 正定, 当 $x < 1$ 时为零(证法同 (2.8)). 当 $x \sim 1$ 时, $\beta_0 \sim 0$, 由 (2.16) 可得:

$$\bar{W}_1^{\pi}(x \sim 1) \simeq m N^4 R_0^7 c \beta_0 T_{00}^4(\epsilon, 0) \sum_i Q_i^2 \propto (x - 1) \quad (2.17)$$

三、Collan-Gross 关系, 计数法则, 交叉对称与电荷共轭对称

现在我们用第一节中证明 (1.9) 式的方法来证明强子 TSF 满足 Collom-Gross 关系 (2.4) 式. (2.1b) 右方加上 $g_{\mu\nu} \bar{W}_1$ 再对 $g^{\mu\nu}$ 缩标, 得:

$$g^{\mu\nu} (\bar{W}_{\mu\nu} + g_{\mu\nu} \bar{W}_1) = \bar{W}_1 + \frac{1}{M^2} \left(M^2 - \frac{(p \cdot q)^2}{q^2} \right) \bar{W}_2 \Big|_{B_j \text{ limit}} = \bar{F}_1 - \frac{1}{2x} \bar{F}_2 \quad (3.1)$$

其中用到 $x \equiv q^2/2p \cdot q$, $p \cdot q = M\nu$ 及 $M^2 \ll (p \cdot q)^2/q^2$.

另一方面, (2.7) 或 (2.15) 右边也加上 $\int \cdots g_{\mu\nu} \not{k} \cdots$ 并对 $g^{\mu\nu}$ 缩标, 并将 $\gamma_\nu \not{k} \gamma_\mu$ 按 (1.11) 展开, 得到:

$$\begin{aligned} \left\{ \cdots g^{\mu\nu} (\not{k}_\mu \gamma_\nu + \not{k}_\nu \gamma_\mu - i \epsilon_{\nu\rho\mu\sigma} \gamma^\sigma \gamma_5 \not{k}^\rho) \cdots \right\} &= \left\{ \cdots 2\not{k} \cdots \right\} = 2\bar{F}_1 \\ \therefore \bar{F}_2 &= -2x \bar{F}_1 \end{aligned} \quad (3.2)$$

从 (2.14) 和 (2.17) 还可以推广到 TSF 的计数法则. 当旁观夸克或反夸克数为 N 时,

$$\bar{F}_1(x \sim 1) \propto (x - 1)^{3N-2} \quad (3.3)$$

这与我们在文献 [1] 中所得到的 SSF 的计数法则:

$$F_1(x \sim 1) \propto (1-x)^{3N-2} \quad (3.4)$$

正好关于 $x = 1$ 相对称(或反对称).

Drell, Levy and Yan^[7] 用不同方法定义 TSF:

$$\text{对于核子: } \bar{F}_1(x) = -\bar{W}_1, \quad \bar{F}_2(x) = \frac{\nu}{M} \bar{W}_2 \quad (3.5a)$$

$$\text{对于介子: } \bar{F}_1(x) = W_1, \quad \bar{F}_2(x) = -\frac{\nu}{M} \bar{W}_2 \quad (3.5b)$$

同时他们认为当 $x \sim 1$ 时 $\bar{F}_{1,2}$ 与 $F_{1,2}$ 应是 x 相同的函数. 故由 $W_1, \bar{W}_1 > 0$ 得到:

$$\text{对于核子: } \bar{F}_1 = F_1(x) \propto (1-x)^{2n+1} \quad (n = 0, 1, 2, \dots), \text{ 自旋 } \frac{1}{2} \text{ 流} \quad (3.6)$$

$$\text{对于介子: } \bar{F}_1 = F_1(x) \propto (1-x)^{2n}$$

而由我们的显示计算来看,并不存在如 (3.6) 的解析延拓关系. 原因可能在于 $x = |q^2| / 2p \cdot q$, 故 \bar{F}_i, F_i 都不是 s, t, u 的解析函数. 但由 (3.3), (3.4):

$$\text{当 } x \sim 1 \text{ 时, } \bar{F}_1(x) = F_1(x) \propto |x-1|^{3N-2} \quad (3.7)$$

这或许是交叉对称在结构函数中的形式.

最后,我们来证明强子 TSF 的电荷共轭对称. 由 (2.15) 式,因 $\sum_i (Q_i)^2$ 对 π^\pm 有相同值,

$$\therefore \bar{F}_{1,2}^+ = \bar{F}_{1,2}^- \quad (3.8a)$$

至于 $\bar{F}_{1,2}^N$, 按第一节的费曼法则可知,它们仅是在表达式 (2.7) 中作交换:

$$\bar{q}_{\alpha_i}(\mathbf{r}_i) \rightarrow \bar{\lambda}_{\alpha_i}(\mathbf{r}_i), \quad q_{\alpha_i}(\mathbf{r}_i) \rightarrow \lambda_{\alpha_i}(\mathbf{r}_i)$$

而易证这一交换并不改变积分结果,

$$\therefore \bar{F}_{1,2}^N = \bar{F}_{1,2}^N \quad (3.8b)$$

也可用同样方法证明 SSF 的电荷对称性.

四、小结与讨论

本文给出了整体口袋-夸克流所对应的一些费曼法则. 用它们很容易得到一系列轻子-强子过程的另级近似跃迁矩阵. 然后我们具体出核子与 π 介子的 TSF. 它们具有 Bjorken 无标度性,在 $x < 1$ 时为零,在 $x \geq 1$ 时 $\bar{F}_1 = \bar{W}_1$ 正定而 $\bar{F}_2 = \frac{\nu}{M} \bar{W}_2$ 负定,满足 Collan-Gross 关系. 这些都是按部分子模型定义的 TSF 应有的性质. 当然,我们只计算了另级近似,还应考虑各种强作用修正(参见 [2] 中对 SSF 的讨论). 但在 $x \sim 1$ 附近,我们所得知果应占主导地位. 可惜目前的实验在 $x \sim 1$ 处还不能提供足够精确的数据以作出可信的比较.

最后,讨论一下我们采用的基本假设与近似. 基本假设是 (1.2)、(1.3) 各式,可作如下理解:

1: 一个作自由运动的部分子集团,必可抽出代表其整体运动的质心自由度,并可用平面波描述^[8].

2: 在我们所考虑的过程中,各种分子的质心系波函数 $q_{\nu\alpha}(\mathbf{r}_i)$ 都是能及本征态(禁闭

的,或视为完全自由的). (1.3) 各式右边本来还有一个时间相因子 $\exp\left\{-i \sum_i \epsilon_i t_i\right\}$, 但对这些 t_i 最后的积分只贡献一个常数因子, 我们把它归入因子 $\lambda^{-3/2}$ 中, 在 (1.3) 右边简单地取 $\mathbf{r} = (0, \mathbf{r})$. 这与文献[5]中的一级近似相一致.

3: 时间变量作如上处理后, N 个部分子组成的集团应剩下 $3N + 1$ 个自由度, 但在 (1.2) 式中, 却有 $3N + 4$ 个自由度. 故在 (1.2) 式中对 $3N$ 个 \mathbf{r}_i 自由度积分时, 实际是对其中 3 个不独立的变量作了平均 (相当于 $\frac{1}{V} \int d^3\mathbf{r} \dots$, 因 $\lambda^3 \propto V$).

我们用到的主要近似有:

1: 我们首先假定 (1.3) 式中的 q_a, λ_a 是洛仑兹协变的, 然后变换到 $\mathbf{p} = 0$ 的质心静止系, 再采用球腔近似袋波函数作为近程 (对于兼容过程, 则可直接取 $\mathbf{p} = 0$ 的静止系).

2: 不过我们的 \mathbf{r} 是质心系坐标, 而在袋模型球腔近似中 \mathbf{r} 是袋心系坐标, 两者必有区别. 但我们认为这种区别的影响可能不大. 因为 MIT 小组计算强子质量谱时^[3,4], 就简单地取 $E = M$ 的. 而实际上因 $E = \langle \sqrt{M^2 + \mathbf{p}^2} \rangle$, $\langle \mathbf{p}^2 \rangle \neq 0$, $E > M$. 另一方面, Donoghue 和 Johnson^[9] 曾考虑了质心运动不确定的影响. 它们的方案是把袋波函数用平面波展开, 如:

$$|\pi(x)\rangle_B = \int \frac{d\mathbf{p}}{2\omega_p} \phi(\mathbf{p}) e^{i\mathbf{p}\cdot\mathbf{x}} |\pi(\mathbf{p})\rangle$$

这里, 右边的 \mathbf{x} 只能是质心系坐标才有物理意义. 但他们在左边输入的 \mathbf{x} 仍是袋心系坐标, 问题依然存在. 而且, 即使按他们的方案, 质心运动的影响也只归结为对袋半径 R_0 的不大的修正.

3: 我们在处理兼容过程时, 把出态夸克看成是相互独立的 (参见 (1.5f,g) 及 (2.9) 式), 这与渐近自由假设相一致.

从以上的讨论可知, 我们的这套方案, 只适用于单顶角的强子弱电过程的零级近似, 不适用于包含虚强子 (或虚夸克) 的过程, 也不适用有强子-强子相互作用顶角的过程.

参 考 文 献

- [1] 汪醒民、宋孝同、殷鹏程, 高能物理与核物理, 6(1982), 560.
- [2] 同上, 6(1983), 160.
- [3] A. Chodos et al., *Phys. Rev.*, D10(1974), 2599.
- [4] T. DeGrand et al., *Phys. Rev.*, D12(1975), 2060.
- [5] M. V. Barnhill III, *Phys. Rev.*, D20(1979), 723.
- [6] R. L. Jaffe, *Phys. Rev.*, D11(1975), 1953.
- [7] S. D. Drell, D. J. Levy and T. M. Yan, *Phys. Rev.*, 187(1969), 2159; D1(1970), 1035; D1(1970), 1617.
- [8] F. E. Close, in *Fundamentals of Quark Model* SUSSP (1977).
- [9] J. F. Donoghue and K. Johnson, *Phys. Rev.*, D21(1980), 1975.

THE FEYNMAN RULES OF COLLECTIVE BAG-QUARK CURRENT AND HADRON TIME-LIKE STRUCTURE FUNCTIONS

WANG XING-MIN
(Hangzhou University)

ABSTRACT

In this article some Feynman rules in the method of collective bag-quark current are given, and, by use of these rules, the zeroth-order transition matrix elements of various photon-hadron processes are obtained. Then the structure functions of nucleons and pions in the processes of deep-inelastic electron-positron annihilation are calculated. The time-like structure functions thus obtained have Bjorken scaling, satisfy Collan-Gross relation, vanish when $x=q^2/2p \cdot q < 1$, and $\bar{F}_1 \equiv \bar{W}_1 \geq 0$, $\bar{F}_2 \equiv \frac{\nu}{M} \bar{W}_2 \leq 0$ when $x \geq 1$. All these characteristics are required by definition. Besides, a counting rule is obtained for the time-like structure functions, i.e., $\bar{F}_1(x \sim 1) \propto (x-1)^{3N-2}$, which is quite symmetric with the one we obtained for the space-like structure functions.